

направлений. Полученные решения сравнивались с аналитическими решениями [2] для двух временных точек. Результаты, полученные в сферических координатах (данная работа), дали гораздо лучшую сходимость, чем решения, полученные Гэвэгенем [3]. Однако и наши вычисления, и результаты, полученные Гэвэгенем, дали не столь хорошую точность, которую можно получить при использовании неравномерной сетки по пространственным координатам.

Таблица 3

Сравнение численных результатов, полученных для сферы в процессе вычисления двумерной задачи – микродиск на сфере (данная работа) и одномерной сферы [10]

| Микродиск на сфере                       |          |   | Микросфера              |          |   |
|--|----------|---|-------------------------|----------|---|
| Сетка<br>N <sub>r</sub> × N <sub>θ</sub> | i(t), μA | I <sub>ECL</sub> , 10 <sup>8</sup><br>фотон/с | Сетка<br>N <sub>r</sub> | i(t), μA | I <sub>ECL</sub> , 10 <sup>8</sup><br>фотон/с |
| 40 x 40                                  | 34,186   | 4,2887  | 40                      | 34,256   | 4,2824  |
| 75 x 75                                  | 34,261   | 4,2953  | 75                      | 34,321   | 4,2946  |
| 100 x 100                                | 34,33    | 4,2975  | 100                     | 34,336   | 4,2967  |
| 200 x 200                                | 34,344   | 4,2993  | 200                     | 34,356   | 4,2987  |
| 400 x 400                                | 34,36    | 4,3004  | 400                     | 34,365   | 4,2992  |

Описанный подход позволяет также численно моделировать полусферу и сферу путем простого задания необходимых геометрических параметров. В процессе сравнения результатов данного подхода с результатами для сферы [10] была получена ошибка сходимости 0,128 % для интенсивности ЭХЛ при одинаковых параметрах моделирования.

Табл. 3 показывает некоторые значения токов электролиза и интенсивности ЭХЛ, вычисленные разными подходами: в задаче – микродиск на сфере, а также для одномерной микросферы. Подходы сравнивались при одинаковых параметрах:

$$c_0 = 10^{-6} \text{ моль/см}^3; D = 10^{-5} \text{ см}^2/\text{с}; r_d = 21,991 \text{ мкм}; r_{\text{sph}} = 7 \text{ мкм};$$

$$t = 10^{-5} \text{ с}; Nt = 2000; k_{\text{bi}} = 10^{10} \text{ см}^3/\text{моль с}; k_f = 10^7 \text{ с}^{-1};$$

$$\varphi_{\text{fl}} = 0,9; \Phi_{\text{ECL}} = 0,01; n = 1.$$

Расхождение в результатах обусловлено тем, что численно решаются одномерная и двумерная задачи. Ошибка сходимости уменьшается при увеличении количества узлов сетки, что видно при сравнении результатов для сеток N<sub>r</sub> × N<sub>θ</sub> = 400 × 400 (двумерная сфера) и N<sub>r</sub> = 400 (одномерная сфера).

#### Выводы

Предложенный подход к решению микродиска в сферических координатах позволяет получать хорошо сравнимые результаты с традиционными методами и избегать краевых эффектов, которые вызывают ошибки решений на границах микродиска. Описанная идея – модели-

рование микродиска на большой сфере – дает возможность использовать достоинства данного подхода также для исследования полусферы и сферы путем простого изменения радиусов сферы и микродиска.

**Список литературы:** 1. Svir I.B., Golovenko V.M. / J. Electrochem. Commun. 2000. Vol.3, №1. P. 11-15. 2. Aoki K., Osteryoung J. / J. Electroanal. Chem. 1984. Vol. 160. P. 335. 3. Gavaghan D.J. / J. Electroanal. Chem. 456 (1998) 13. 4. Svir I.B., Oleinick A.I. / J. Electroanal. Chem. Vol. 497, N2, 2000. P.1-9. 5. Amatore C.A., Fosset B. / J. Electroanal. Chem. 1992. Vol. 328. P. 21. 6. Свирь И.Б. / Радиоэлектроника и информатика, 2000, № 3. С. 24. 7. Бых А.И., Васильев Р.Ф., Рожницкий Н.Н. // Итоги науки и техники. ВИНТИ. Сер. Радиационная химия. Фотохимия. 1979. № 2.135 с. 8. Britz D. / J. Electroanal. Chem. 1996. Vol. 406. P. 15. 9. Feldberg S.W. and Goldstein C. / J. Electroanal. Chem. 1995. Vol. 397. P.1. 10. Свирь И.Б., Олейник А.И., Комптоун Р.Г. / Радиоэлектроника и информатика. 2000. № 1. С. 28-32.

Поступила в редколлегию 11.11.2000

**Свирь Ирина Борисовна**, канд. физ.-мат. наук, зав. лабораторией математического и компьютерного моделирования, докторант кафедры биомедицинской электроники ХТУРЭ. Научные интересы: численное моделирование электрохимических процессов. Адрес: Украина, 61166, Харьков, пр. Ленина, 14, тел. 40-93-64.

УДК 622:51-7; 622-007

А.Н. ДОБРОВОЛЬСКИЙ

## ИСПОЛЬЗОВАНИЕ ПАРАМЕТРИЧЕСКОГО ПРЕДСТАВЛЕНИЯ ПОВЕРХНОСТИ ДЛЯ ОПРЕДЕЛЕНИЯ ГЕОМЕТРИЧЕСКИХ ПАРАМЕТРОВ ЗАЛЕГАНИЯ ПОЛЕЗНЫХ ИСКОПАЕМЫХ

Обобщается известный метод трех скважин для определения геометрических параметров залегания пластообразных тел полезного ископаемого на случай тел сложной формы и автоматизировать его.

Для горной отрасли Украины одной из актуальнейших задач является автоматизация процессов управления и проектирования объектов горного производства, планирования горных работ, что обуславливает необходимость разработки соответствующих математических моделей. Особое значение для решения различных задач горного производства имеют геометрические модели, способные отражать особенности пространственного расположения и формы геологических объектов, структуры месторождения.

В горном деле расположение тела полезного ископаемого в пространстве и особенности его формы характеризуются рядом геометрических параметров, называемых также элементами залегания. Определение этих элементов является одной из основных задач геометрического моделирования в процессе исследования месторождения.

Данная статья посвящена вопросам представления поверхности рудного тела в целях автоматизации процедуры определения таких геометрических параметров как угол падения и угол простирания залежи.

Рассмотрим эти параметры на примере залежи пластообразной формы. Пусть необходимо определить угол падения и простирания в точке А на поверхности рудного тела (рис.1, а). Направление наибольшего ската поверхности (падения) в этой точке определяет некоторую прямую в пространстве, называемую линией падения. Угол, образованный линией падения и горизонтальной плоскостью, есть угол падения  $\delta$ . Проекция угла падения на вертикальную плоскость  $yz$  показана на рис. 1, б. Если линия падения параллельна плоскости  $yz$ , то угол  $\delta$  проецируется в натуральную величину.

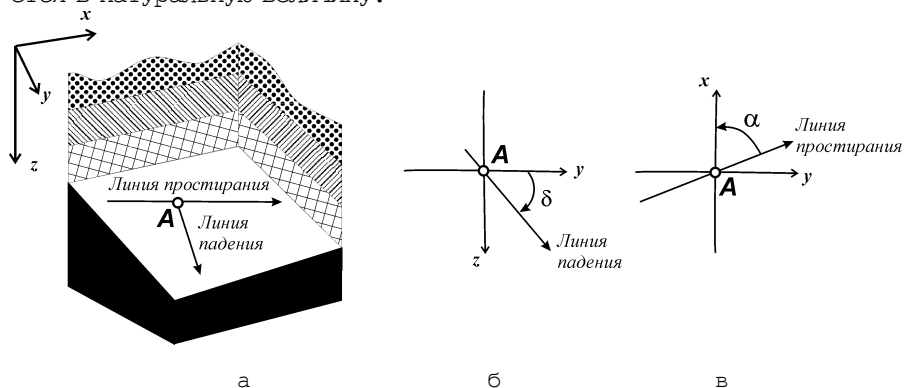


Рис. 1. Элементы залегания залежи: а – линия простирания и линия падения залежи; б – линия падения и угол падения  $\delta$  в плане; в – линия простирания и угол простирания  $\alpha$  в плане

Линией простирания называют линию поверхности залежи, параллельную горизонтальной плоскости. Положительное направление простирания выбирают таким, чтобы падение залежи было справа. Угол  $\alpha$ , образованный положительным направлением линии простирания и оси  $x$ , есть угол простирания. На рис. 1, в показана проекция угла простирания  $\alpha$  на горизонтальную плоскость  $xy$ .

На практике углы падения и простирания определяются графическим или аналитическим способом по плану поверхности рудного тела в горизонталях в результате решения задачи о трех скважинах [1]. Сущность задачи состоит в следующем. Пусть по результатам инклинометрических съемок скважин вычислены координаты  $x, y, z$  трех точек 1, 2, 3, в которых скважины встретили залежь. Точки наносят на план по их координатам  $x, y$  и рядом с каждой подписывают координату  $z$

как числовую отметку (рис. 2). На сторонах треугольника 1-2-3 методом линейной интерполяции определяют точки с отметками, кратными выбранному шагу горизонтальных сечений поверхности. На рис.2 на сторонах 1-2, 1-3, 2-3 определены точки с отметками -110, -120, -130 и -140 м, кратными шагу  $h=10$  м. Через точки с одинаковыми отметками проводят горизонтали поверхности и измеряют транспортным углом простирания  $\alpha$ .

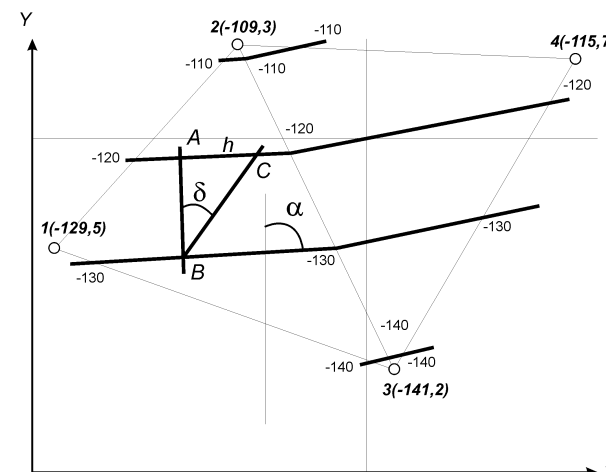


Рис. 2. К определению угла падения и простирания

Чтобы определить угол падения  $\delta$ , на плане перпендикулярно к горизонталям проводят линию АВ, на одной из горизонталей от точки А откладывают в масштабе плана величину шага  $h$  и соединяют полученную точку С с точкой В. В построенном треугольнике АВС угол при точке В есть угол падения пласта или залежи. Аналогичным образом производят построения в соседнем треугольнике 2-3-4 и определяют углы на соседнем участке залежи.

Как видно из графического алгоритма решения задачи, участок поверхности залежи аппроксимируется плоскостью, в которой лежат точки 1, 2, 3. Угол падения  $\delta$ , таким образом, представляет собой угол, образованный плоскостью треугольника 1-2-3 и горизонтальной плоскостью. Кроме того, значение угла  $\delta$  на всем участке АВ принимается равным, что справедливо лишь для залежей пластообразной формы. В случае, если залежь имеет сложную форму (которая характерна, например, для железорудных месторождений), метод будет обладать большой погрешностью.

Использование параметрического представления поверхностей позволяет определять углы простирания и падения в точках поверхности рудных тел любой формы.

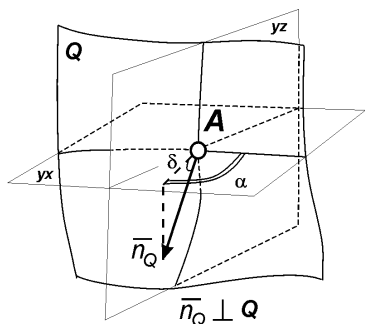


Рис. 3. К определению углов падения и простирания в т. А поверхности Q

Пусть необходимо определить углы падения и простирания в точке А участка некоторой поверхности Q (рис.3). Известен вектор нормали  $\vec{n}_Q$  к поверхности в данной точке.

Тогда углы падения и простирания можно определить по формулам:

$$\alpha = \arccos\left(\frac{x}{\sqrt{x^2 + y^2}}\right), \quad (1)$$

$$\delta = \arccos\left(\frac{\sqrt{x^2 + y^2}}{\sqrt{x^2 + y^2 + z^2}}\right),$$

где  $x, y, z$  – компоненты вектора нормали к поверхности.

Пусть поверхность задана параметрически в виде  $Q(s, t)$  (о различных способах параметрического задания поверхности см. [2, 3]). Тогда вектор нормали параметрической поверхности в точке определяется как векторное произведение:

$$\vec{n}_Q = \frac{\partial Q(s, t)}{\partial s} \times \frac{\partial Q(s, t)}{\partial t}. \quad (2)$$

Рассмотрим внимательнее компоненты векторного произведения (2). При  $t = \text{const}$  поверхность вырождается в функцию одной переменной  $Q(s)$ , соответствующей некоторой кривой на поверхности. Поэтому первый компонент векторного произведения выражает касательный вектор в любой точке этой кривой. Соответственно, при  $s = \text{const}$  второй компонент выражает также касательный вектор к некоторой кривой.

Если семейство кривых  $S = \{s_i\}$  лежит в параллельных плоскостях, причем параллельных и горизонтальной координатной плоскости  $xy$ , а семейство  $T = \{t_j\}$  – также в параллельных плоскостях, причем параллельных и вертикальной плоскости  $yz$  (рис. 4), то поверхность  $Q(s, t)$  вырождается в кривую, например,  $t_j$  при  $t = \text{const}$  и в кривую  $s_i$  при  $s = \text{const}$ .

В этом случае  $\vec{n}_s$  – вектор простирания и тангенс угла простирания равен значению первой производной кривой  $t_j$  в рассматриваемой точке А;  $\vec{n}_t$  – вектор падения и тангенс угла падения равен значению первой производной кривой  $s_i$  в точке А.

Таким образом, задача определения падения и простирания в точке А может быть сведена к восстановлению сплайнов  $s_i$  и  $t_j$  параметрической поверхности, проходящих через заданную точку А, и определению касательных векторов к этим сплайнам.

Для этого необходимо лишь знать постоянные величины  $s$  и  $t$ . Зная координаты точки  $A(x, y, z)$ , а также приняв во внимание, что поверхность задана параметрически (т.е.  $x=f(s, t)$ ,  $y=f(s, t)$ ,  $z=f(s, t)$ ), мы получаем искомые величины путем подстановки и решения соответствующих систем уравнений.

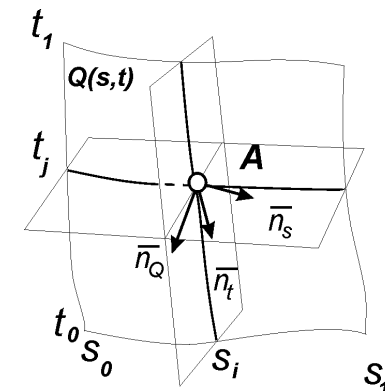
На сегодняшний день геометрическая модель полезного ископаемого представляется совокупностью планов сечений рудных тел множеством параллельных горизонтальных и вертикальных плоскостей. На каждом из горизонтальных планов в виде сложной кривой отображается контур сечения рудного тела горизонтальной плоскостью на заданной глубине, на каждом из вертикальных – контур сечения вертикальной плоскостью в заданном направлении. Определение углов падения и простирания в произвольной точке поверхности на основе этой информации включает следующие этапы: 1) аналитическое представление контуров рудного тела в сечениях в форме параметрических кривых; 2) представление участка поверхности в окрестности рассматриваемой точки в параметрической форме на основе аналитических выражений для смежных с участком контуров; 3) восстановление координатных линий, проходящих через заданную точку, на параметрической поверхности; 4) определение тангенсов углов касательных к координатным линиям в рассматриваемой точке.

Применимость такого метода определения углов падения и простирания возможна при условии гладкости участка рудного тела. Это означает, что ее первые частные производные должны быть не равны нулю и всюду непрерывны [2].

**Список литературы:** 1. Кузьмин В.И., Мининг С.Э., Редькин Г.М. Геометризация и рациональное использование недр. М.: Недр, 1991. 319 с. 2. Михайленко В.Е., Кислюцкий В.Н., Лященко А.А., Сазонов К.А., Цурин О.Ф. Геометрическое моделирование и машинная графика в САПР. К.: Выща шк., 1991. 374 с. 3. Foley J.D., van Dam A., Feiner S.K., Hughes I.F. Computer graphics (principles and practice) by Addison-Wesley Publishing Company, Inc., 1996. 1175 p.

Поступила в редколлегию 07.11.2000

**Добровольский Андрей Николаевич**, аспирант кафедры ИКТ ХТУРЭ. Научные интересы: геометрическое моделирование в САПР. Адрес: Украина, 61174, Харьков, пр. Л.Свободы, 51б, к. 915, тел. 40-93-78.



$\vec{n}_Q \perp Q(s, t)$

Рис. 4. Компоненты векторного произведения как касательные векторы к кривым на поверхности